

Cartographie synthétique de localisation des bancs de sargasses détectés à partir des images satellite disponibles la semaine du 28 mai au 03 juin 2018

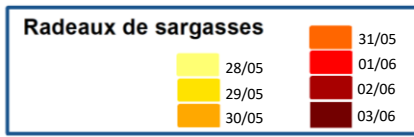
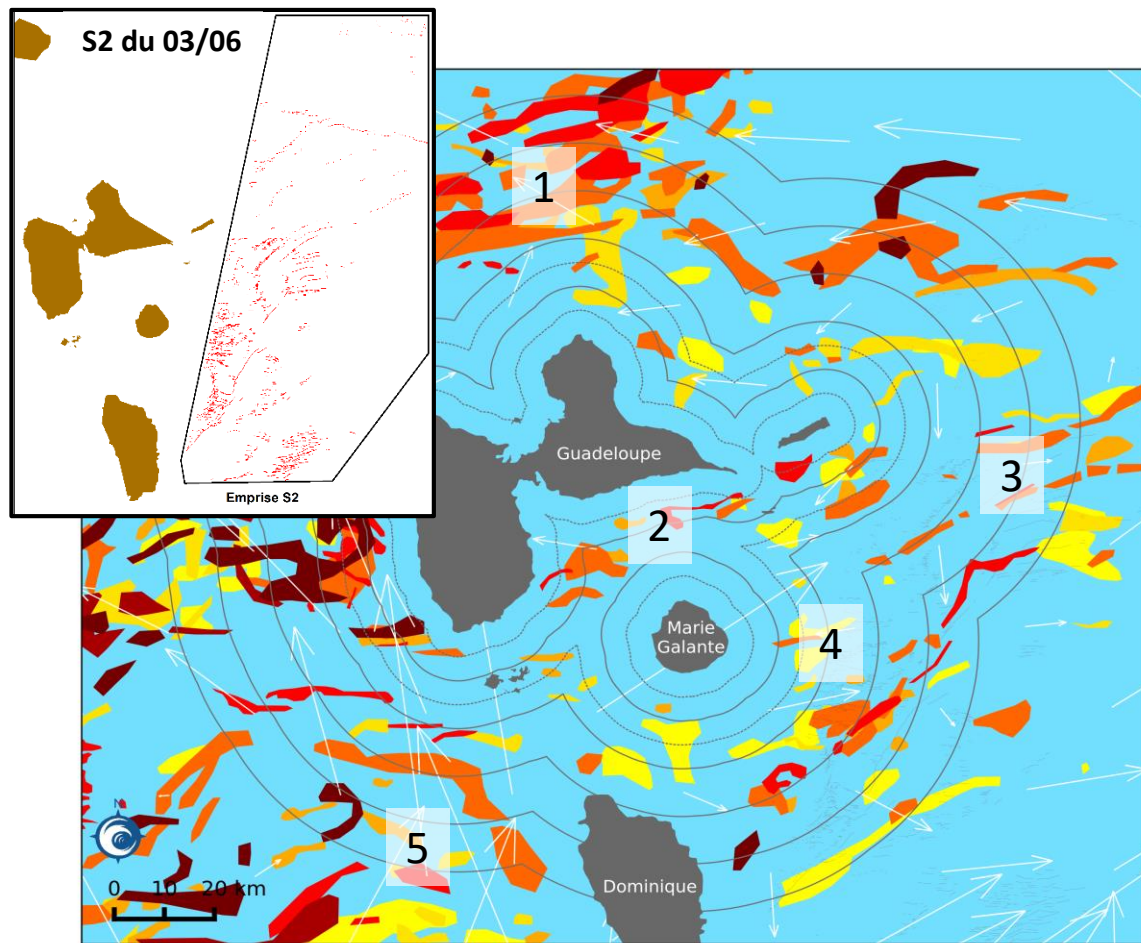
Tout comme la semaine précédente, de très nombreux radeaux ont emprunté le passage de la Guadeloupe sans impacter l'archipel (1).

Les radeaux détectés dans le canal de Marie Galante (2) présentent un risque d'échouage de par leur proximité immédiate avec la façade sud de la Guadeloupe.

Une belle image Sentinel-2 à haute résolution a été prise dimanche 3 juin mais elle n'offre qu'une couverture partielle (zoom en haut à gauche). Elle révèle la présence de nombreux radeaux en approche de la Guadeloupe par l'est (3) et le sud est (4).

Les prévisions hydrodynamiques du week end passé laissent entendre qu'ils ne devraient pas toucher la Guadeloupe de suite. Les bancs au large de Grande-Terre (3) sont en stand-by dans une situation de faible hydrodynamisme, et ceux au large de Marie-Galante (4) devraient rester à distance des côtes temporairement.

La remontée de sargasses par le sud (5), en direction des Saintes puis de Basse-Terre est à suivre dans les jours à venir.



Sources : Réalisation : i-Sea 2018
 Traitements issus des produits AFAT (University of South Florida) pour la semaine du 28/05/2018 au 03/06/2018
 Produits AFAT dérivés des images MODIS/VIRS 1km © NASA
 Image Sentinel 3 – 300m – du 01/06/2018 © CNES
 Image Sentinel 2 – 10m – du 03/06/2018 © ESA

Système de coordonnées : UTM 20N

RISQUE : ECHOUAGE MAJEUR POUR LA GUADELOUPE

Bulletin de veille – tendance Sargasses pour la semaine du 04/06/2018 au 10/06/2018

Interprétation des bancs de sargasses détectés à partir des images satellite disponibles la semaine du 28 mai au 03 juin 2018

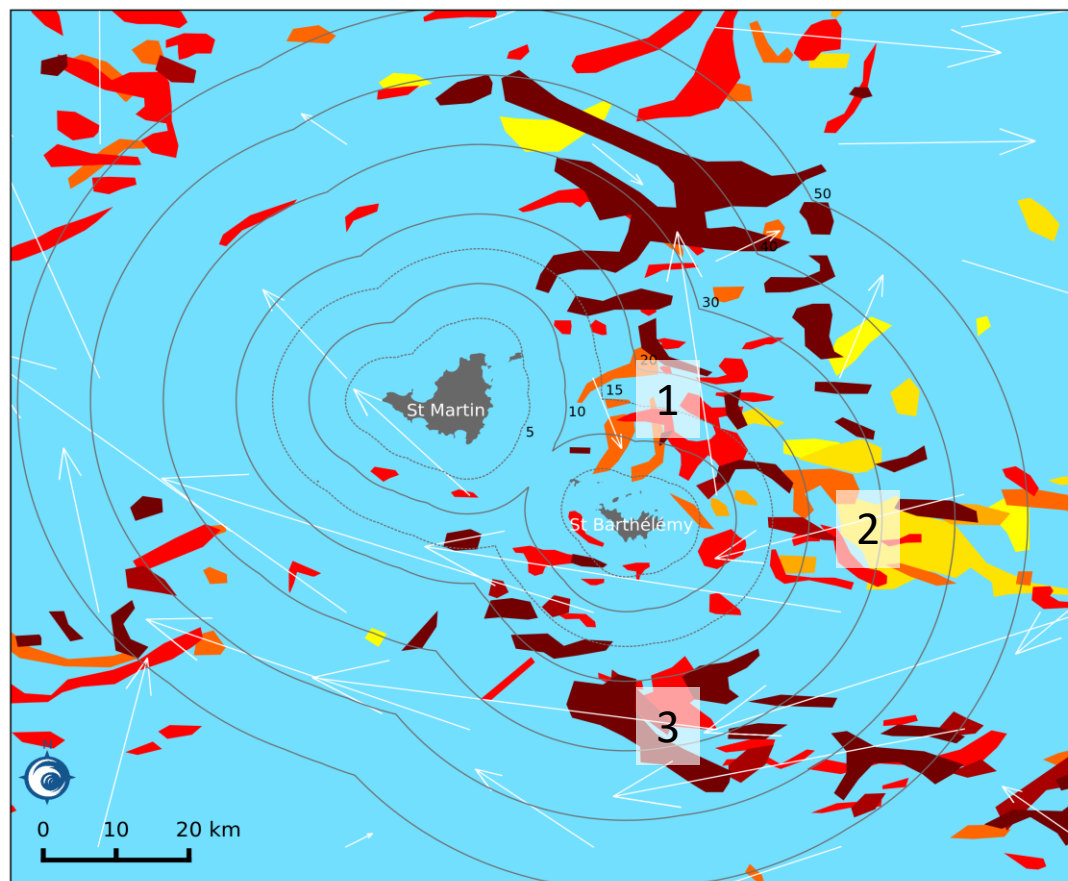
Cartographie synthétique de localisation des bancs de sargasses détectés à partir des images satellite disponibles la semaine du 28 mai au 03 juin 2018

De nombreux radeaux ont été détectés tout au long de la semaine à proximité immédiate des îles du Nord (1), au nord de Saint-Barthélemy et par conséquent à l'est de Saint-Martin. La majeure partie de ces radeaux remontent vers le nord.

À l'est de Saint-Barthélemy, les courants sont principalement orientés vers l'ouest-sud-ouest, les radeaux visibles dans ce secteur (2) se dirigent en direction de l'île.

Enfin, plusieurs radeaux sont visibles en cette fin de semaine au sud des deux îles (3), ils devraient poursuivre leur dérive en direction du nord-ouest, sans impacter les îles du Nord.

RISQUE : ECHOUAGE FORT POUR SAINT-BARTHELEMY



Radeaux de sargasses

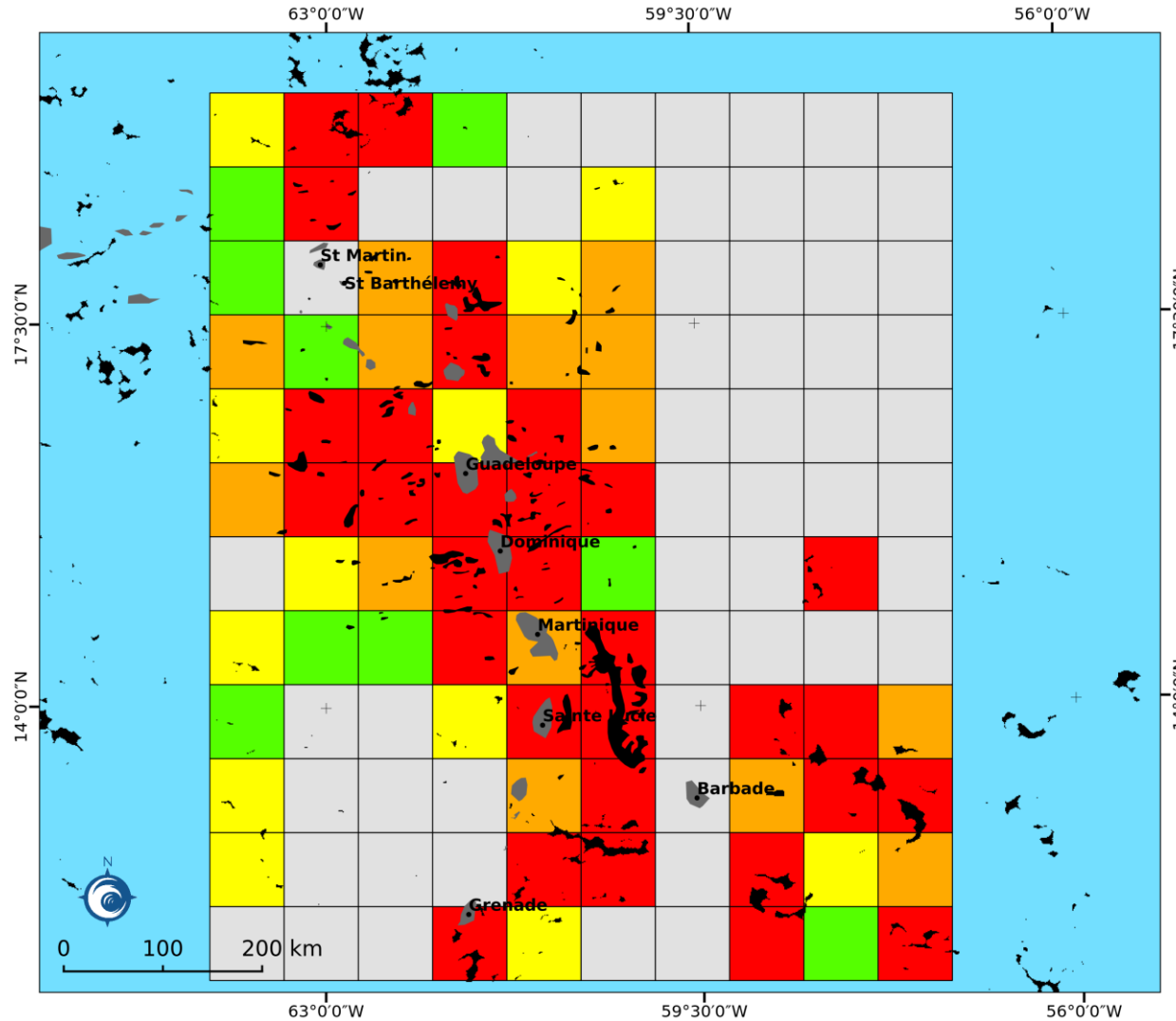
	28/05		31/05
	29/05		01/06
	30/05		02/06
			03/06

Sources :

Réalisation : i-Sea 2018
 Traitements issus des produits AFAI (University of South Florida) pour la semaine du 28/05/2018 au 03/06/2018
 Produits AFAI dérivés des images MODIS/VIIRS 1km © NASA
 Image Sentinel 3 – 300m – du 01/06/2018 © CNES
 Image Sentinel 2 – 10m – du 03/06/2018 © ESA

Système de coordonnées : UTM 20N

Cartographie de densité des sargasses – Lun 28/05/2018



Cotation de la densité de sargasses pour la journée du 28/05/2018

Nébulosité importante côté Atlantique, plusieurs fenêtres d'observation sont présentes en mer des Caraïbes.

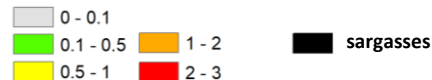
De nombreux radeaux sont détectés à proximité de l'archipel guadeloupéen, notamment autour de Marie Galante. Des radeaux sont visibles à l'est de l'île, ainsi que dans le passage de la Dominique.

Plusieurs radeaux sont également détectés au sud-sud-est de la Désirade et deux radeaux empruntent le canal de Marie Galante.

Côté ouest Grande-Terre, trois radeaux sont détectés, le plus proche à environ 12 km.

A proximité des îles du Nord, quelques radeaux sont visibles à l'est au large, le radeau le plus proche des deux îles se situe à environ 20 km au nord-est de Saint-Barthélemy.

% de couverture

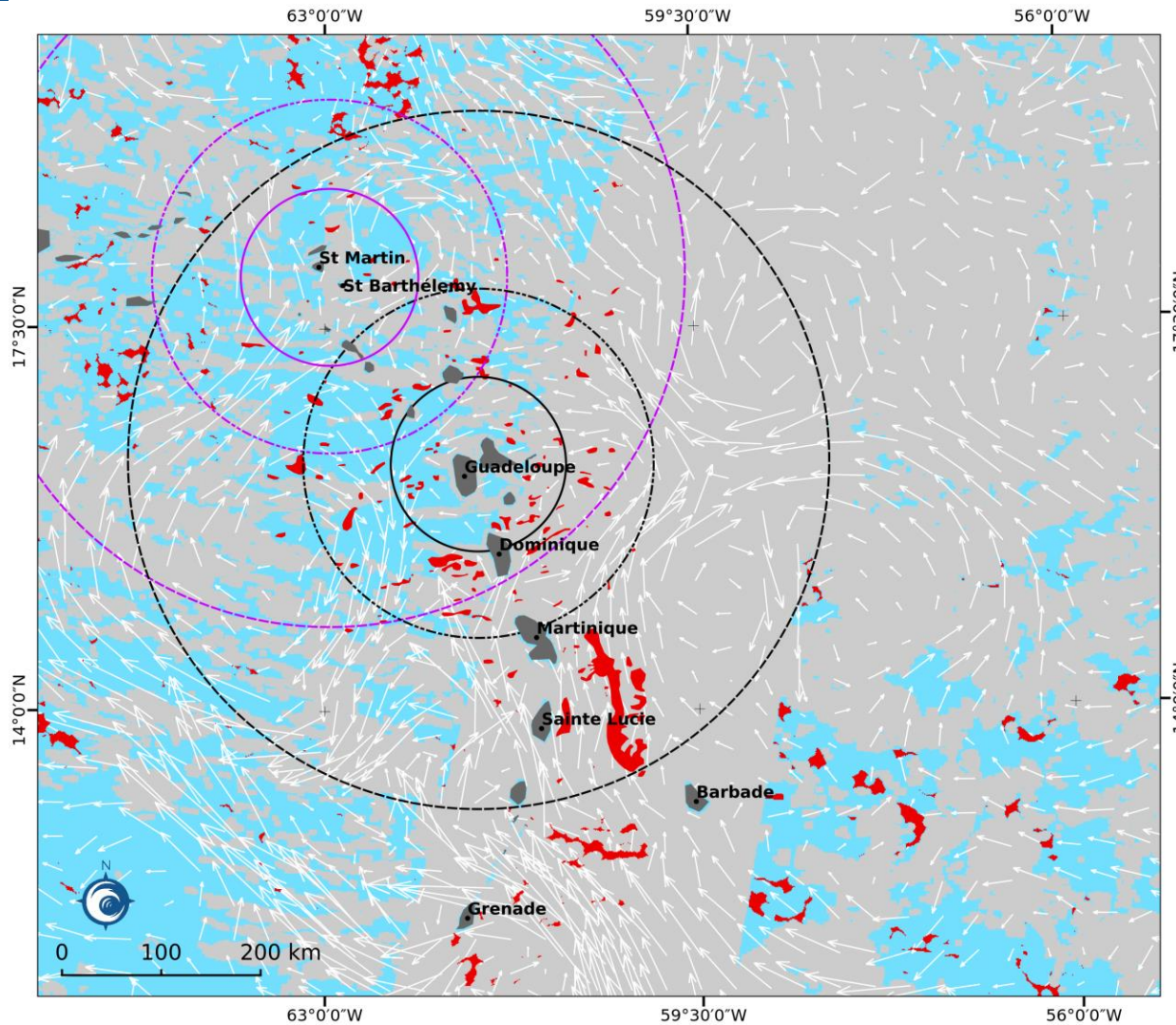


Sources :

Réalisation : i-Sea 2018
 Traitements issus des produits AFAI (University of South Florida) pour la journée du 28/05/2018
 Produits AFAI dérivés des images MODIS/VIIRS 1km © NASA

Système de coordonnées : UTM 20N

Dynamique des radeaux de sargasses – Lun 28/05/2018



Superposition des radeaux de sargasses détectés à partir des images du 28/05/2018 aux courants de surface.

Les radeaux détectés à proximité de Marie Galante sont sous l'influence de courants orientés vers le sud-sud-ouest, en direction du passage de la Dominique.

Ceux détectés au sud de la Désirade sont également soumis à des courants dirigés vers le sud-ouest, en direction de Marie Galante.

Au nord-ouest de Grande-Terre, les radeaux détectés se dirigent vers le passage de la Guadeloupe, il est probable que la traine de certains d'entre eux accroche l'île sur leur passage.

La situation telle qu'observée le 28/05/2018 présente un risque d'échouage en direction de la Guadeloupe et de Marie Galante.

A proximité des îles du Nord, les radeaux détectés au nord-est de Saint-Barthélemy se dirigent vers le nord.

Radeaux de sargasses
 — 28/05/2018
Distances (km)
 100 200 400

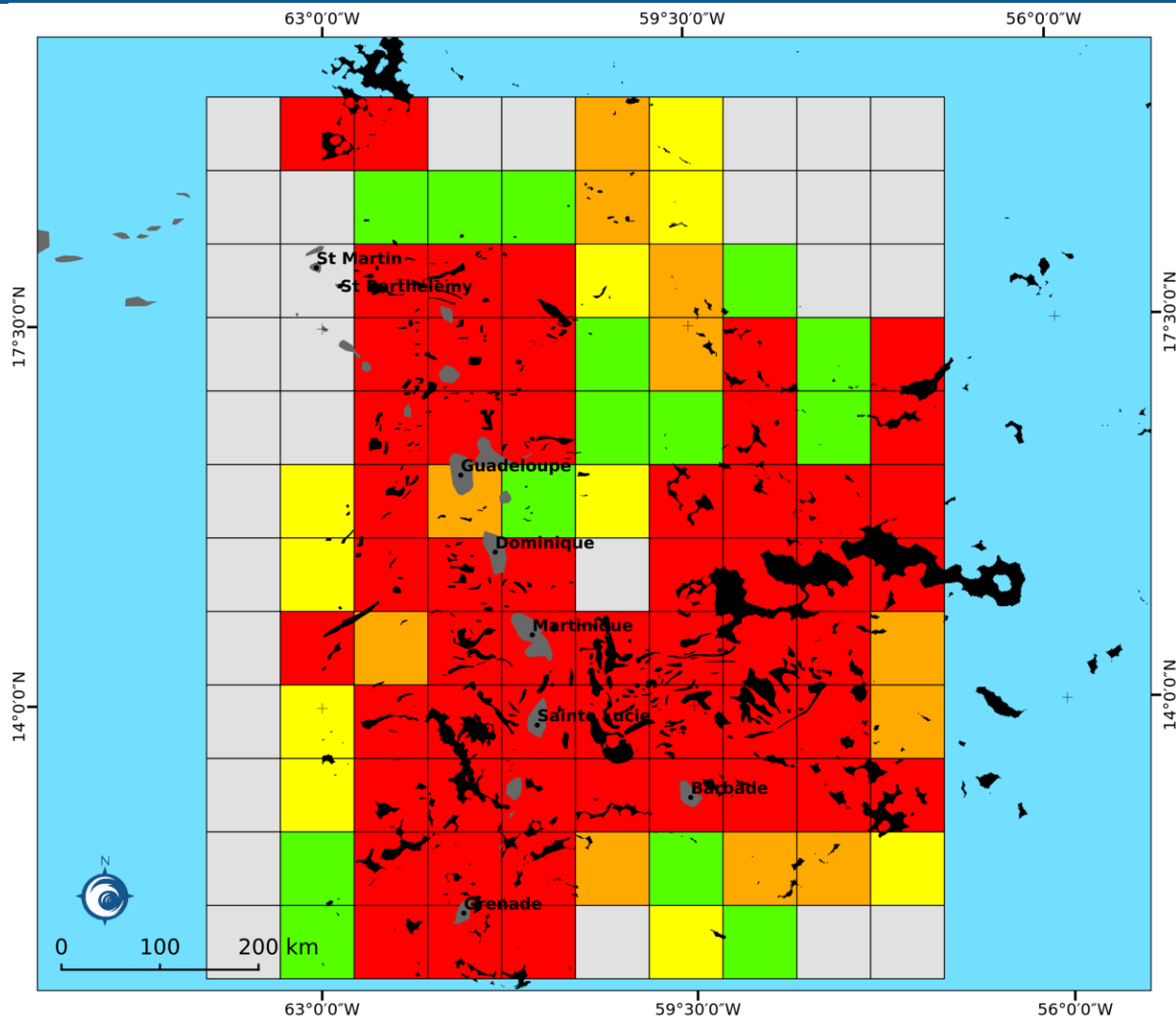
Courants de surface
 → 10 cm/s
 → 50 cm/s
 nuages

Sources :

Réalisation : i-Sea 2018
 Traitements issus des produits AFAI (University of South Florida) pour la journée du 28/05/2018
 Produits AFAI dérivés des images MODIS/VIIRS 1km © NASA
 Courant de surface HYCOM

Système de coordonnées : UTM 20N

Cartographie de densité des sargasses – Mar 29/05/2018



Cotation de la densité de sargasses pour la journée du 29/05/2018

Nébulosité importante en Mer des Caraïbes, quelques fenêtres d'observation sont présentes à proximité de l'arc antillais et en Atlantique.

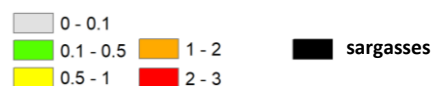
Plusieurs radeaux sont visibles au nord ainsi qu'à l'est de Grande-Terre.

Autour des Saintes, des radeaux sont détectés à l'est ainsi qu'au sud.

Quelques radeaux sont visibles à l'est-sud-est de Marie Galante.

Comme la veille, plusieurs radeaux sont détectés à l'est et au nord-est de Saint-Barthélemy.

% de couverture

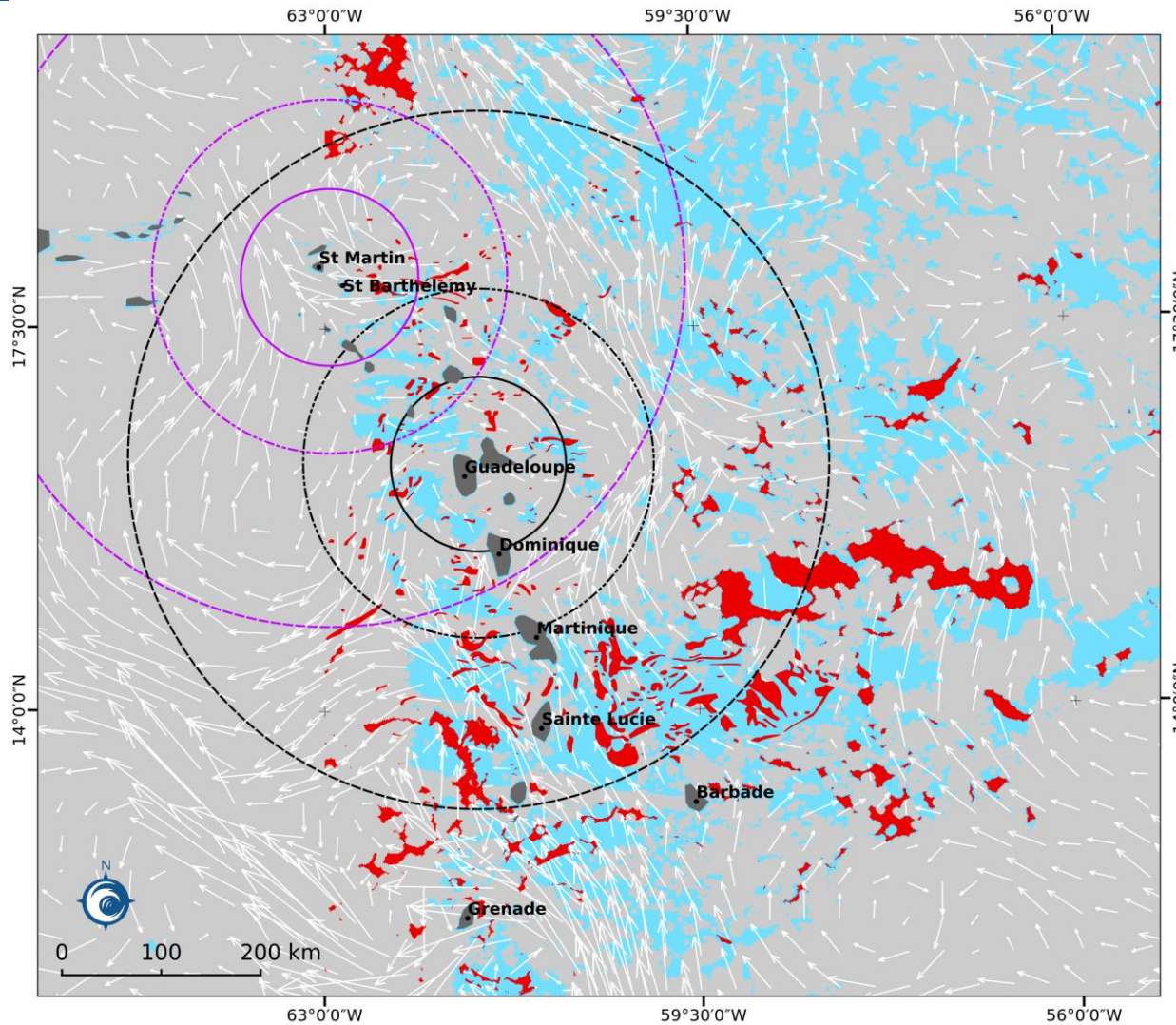


Sources :

Réalisation : i-Sea 2018
 Traitements issus des produits AFAI (University of South Florida) pour la journée du 29/05/2018
 Produits AFAI dérivés des images MODIS/VIIRS 1km © NASA

Système de coordonnées : UTM 20N

Dynamique des radeaux de sargasses – Mar 29/05/2018



Superposition des radeaux de sargasses détectés à partir des images du 29/05/2018 aux courants de surface.

Autour de l'archipel guadeloupéen, les radeaux détectés à l'est, au large de Grande-Terre se dirigent vers le passage de la Guadeloupe. Un radeau est détecté à proximité immédiate de la côte.

Les radeaux visibles à l'est des Saintes sont sous l'influence de courants orientés vers le nord-ouest, en direction de l'archipel.

La situation telle qu'observée le 29/05/2018 présente un risque d'échouage en direction de la Guadeloupe et des Saintes.

À l'est de Saint-Barthélemy, le radeau de grande taille, situé à 25 km des côtes se déplace vers l'île.

La situation telle qu'observée le 29/05/2018 présente un risque d'échouage en direction de Saint-Barthélemy.

Radeaux de sargasses
29/05/2018
Distances (km)
100 200 400

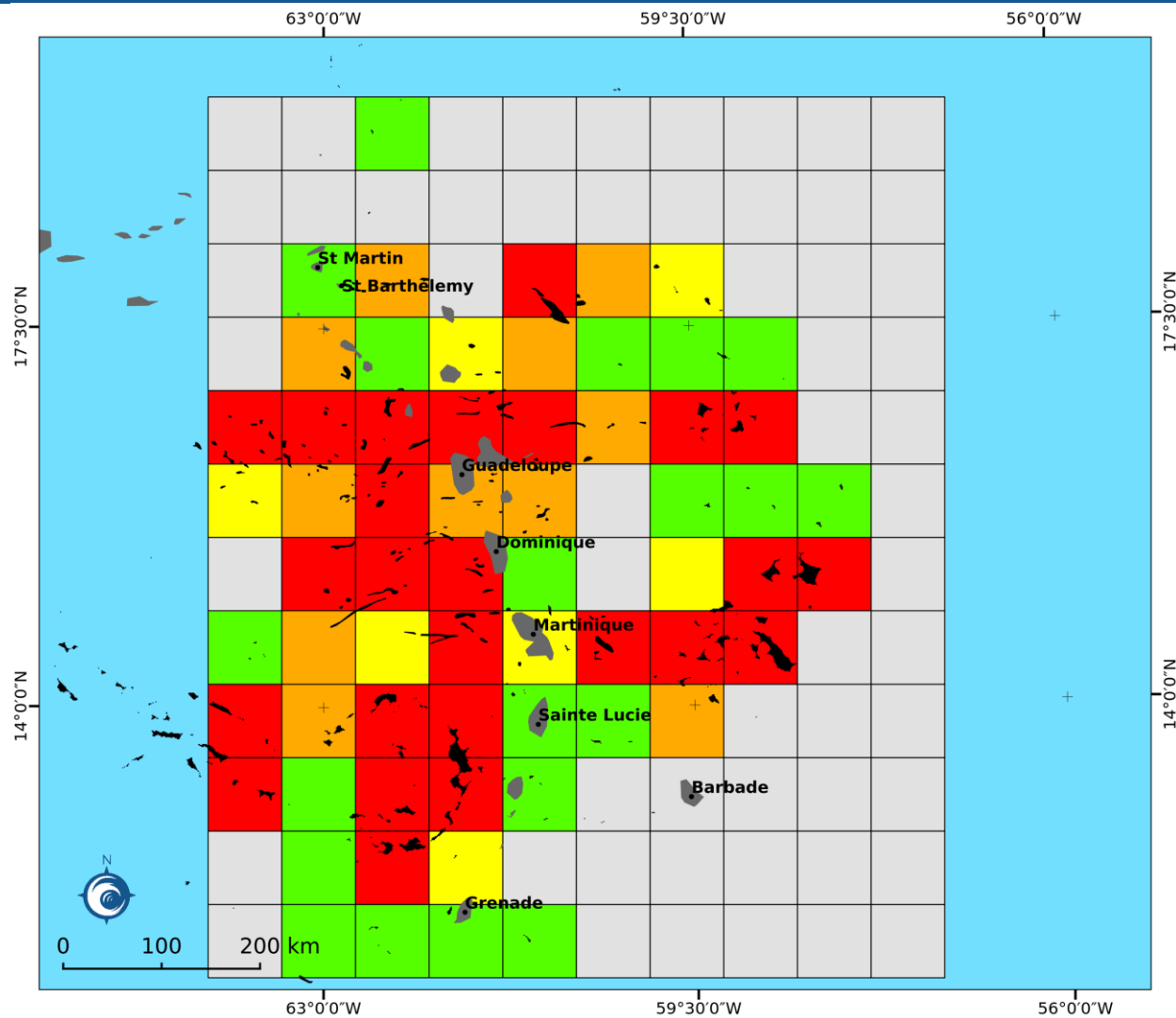
Courants de surface
10 cm/s
50 cm/s
nuages

Sources :

Réalisation : i-Sea 2018
Traitements issus des produits AFAI (University of South Florida) pour la journée du 29/05/2018
Produits AFAI dérivés des images MODIS/VIIRS 1km © NASA
Courant de surface HYCOM

Système de coordonnées : UTM 20N

Cartographie de densité des sargasses – Mer 30/05/2018



Cotation de la densité de sargasses pour la journée du 30/05/2018

Nébulosité importante sur l'ensemble de la région n'apportant qu'une vision partielle des radeaux de sargasses en mer.

Les radeaux détectés à proximité des Saintes la veille se sont rapprochés de l'archipel. Deux radeaux sont détectés à proximité de la façade sud de Grande-Terre.

L'image du jour révèle la présence de deux radeaux au sud de la Désirade.

À l'est de Saint-Barthélemy, plusieurs radeaux sont en approche des côtes.

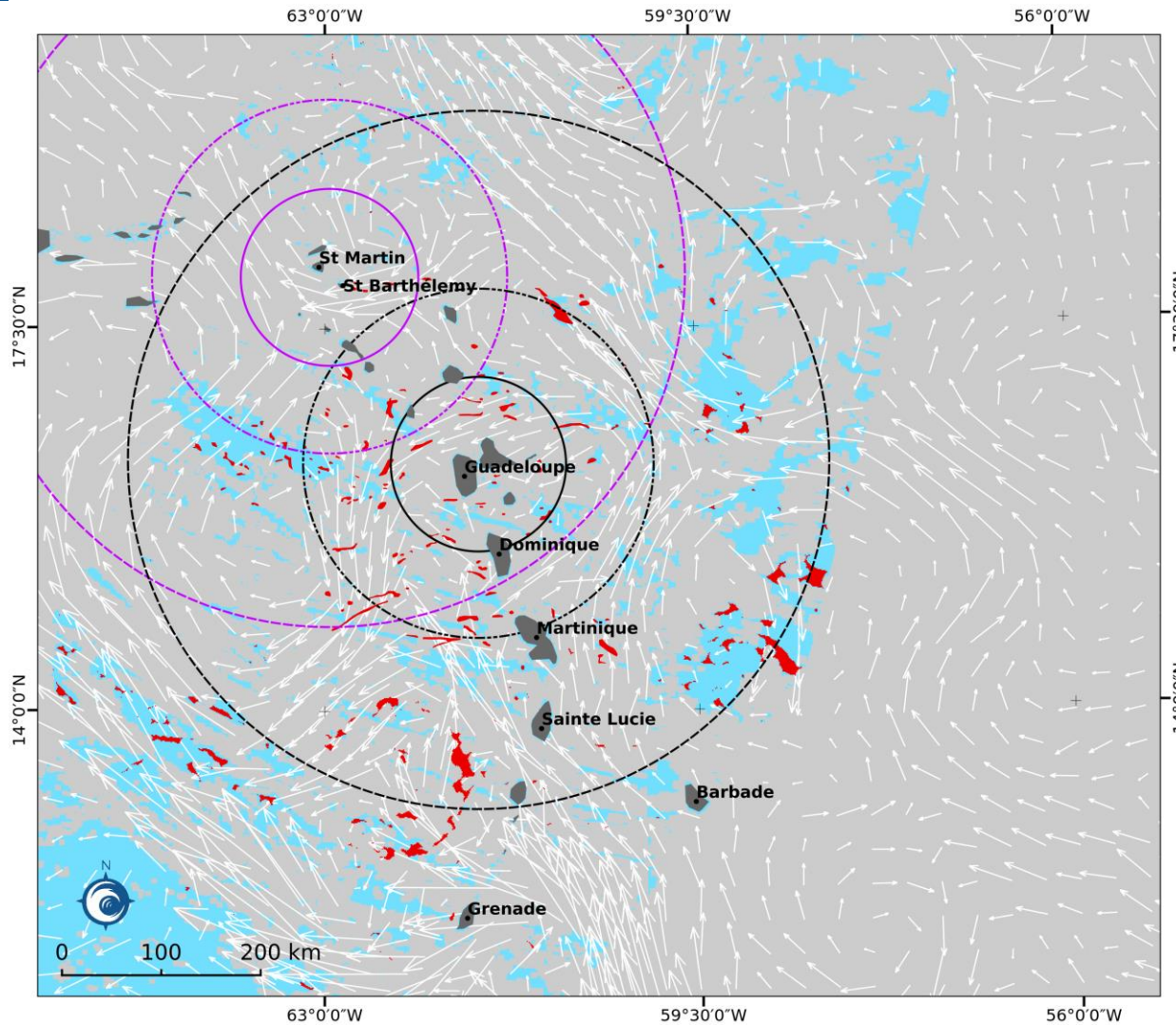
% de couverture

0 - 0.1	0.1 - 0.5	0.5 - 1	1 - 2	2 - 3	sargasses
---------	-----------	---------	-------	-------	-----------

Sources :
Réalisation : i-Sea 2018
Traitements issus des produits AFAI (University of South Florida) pour la journée du 30/05/2018
Produits AFAI dérivés des images MODIS/VIIRS 1km © NASA

Système de coordonnées : UTM 20N

Dynamique des radeaux de sargasses – Mer 30/05/2018



Superposition des radeaux de sargasses détectés à partir des images du 30/05/2018 aux courants de surface.

Les radeaux détectés au sud de la Désirade se dirigent vers le sud-ouest, ils devraient emprunter le canal de Marie Galante ou se rapprocher de Marie Galante dans les jours qui suivent.

Les radeaux visibles au sud de Grande-Terre sont sous l'influence de courants orientés vers l'ouest-sud-ouest.

A proximité immédiate des Saintes, plusieurs radeaux sont détectés.

La situation telle qu'observée le 30/05/2018 présente un risque d'échouage en direction de la Guadeloupe et des Saintes.

Les radeaux détectés à proximité immédiate de Saint-Barthélemy se dirigent vers l'île.

La situation telle qu'observée le 30/05/2018 présente un risque d'échouage en direction de Saint-Barthélemy.

Radeaux de sargasses
30/05/2018
Distances (km)
100 200 400

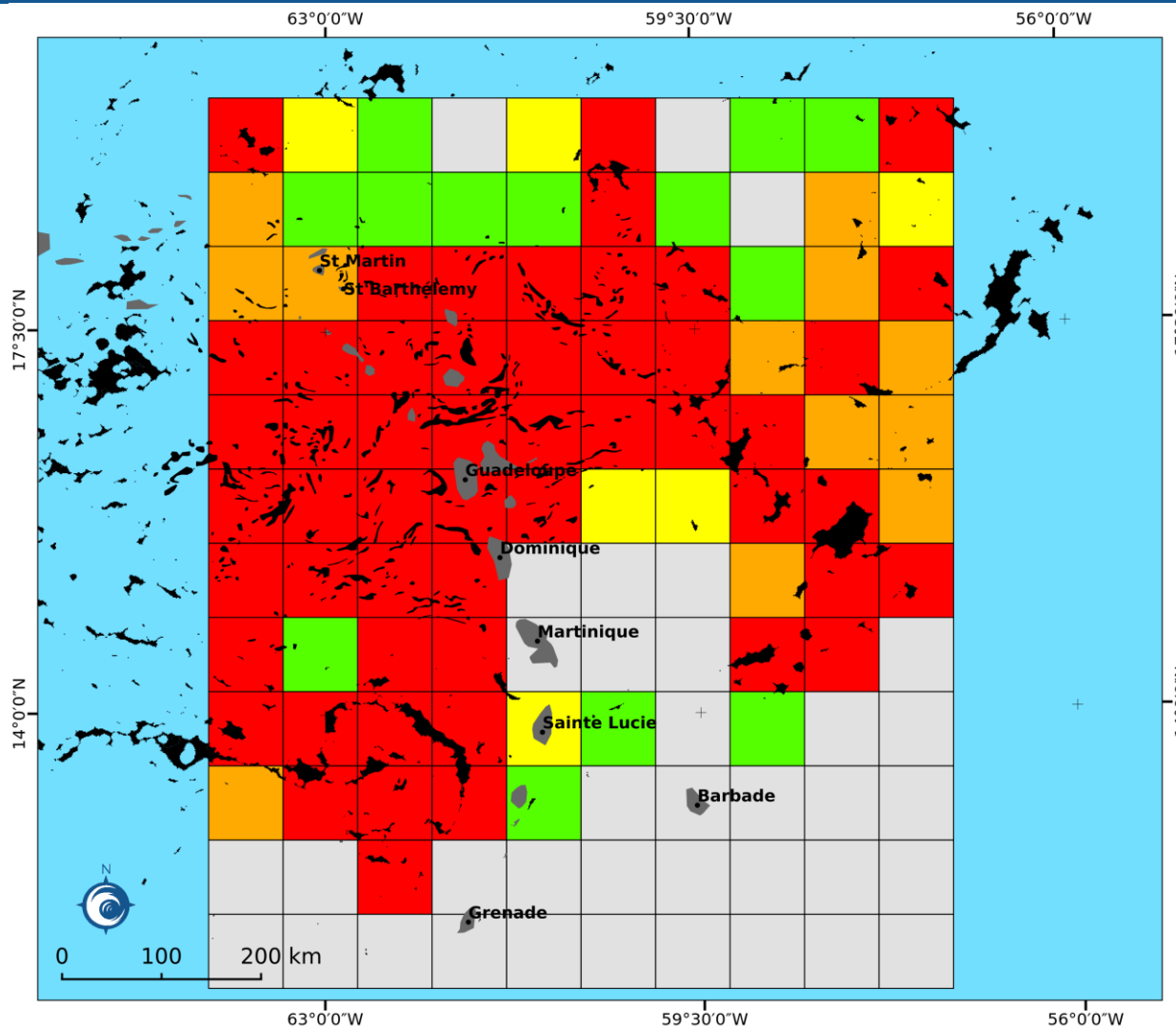
Courants de surface
10 cm/s
50 cm/s
nuages

Sources :

Réalisation : i-Sea 2018
Traitements issus des produits AFAI (University of South Florida) pour la journée du 30/05/2018
Produits AFAI dérivés des images MODIS/VIIRS 1km © NASA
Courant de surface HYCOM

Système de coordonnées : UTM 20N

Cartographie de densité des sargasses – Jeu 31/05/2018



Cotation de la densité de sargasses pour la journée du 31/05/2018

Couverture nuageuse partielle :

- Océan sous couvert nuageux
- Fenêtres d'observation présentes en mer des Caraïbes

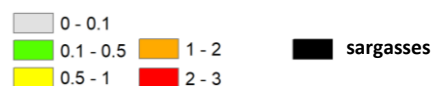
L'image du jour révèle l'omniprésence de radeaux dans le passage de la Guadeloupe et à l'ouest de Basse-Terre.

Les deux radeaux détectés la veille au sud de Grande-Terre se sont déplacés vers le sud-ouest et ceux détectés au sud de la Désirade se sont légèrement déplacés vers le sud-est.

Un radeau se trouve à proximité immédiate de Marie Galante et plusieurs autres sont visibles à l'est.

De nombreux radeaux sont visibles au nord de Saint-Barthélemy et plusieurs vagues de radeaux sont en approche par l'est.

% de couverture

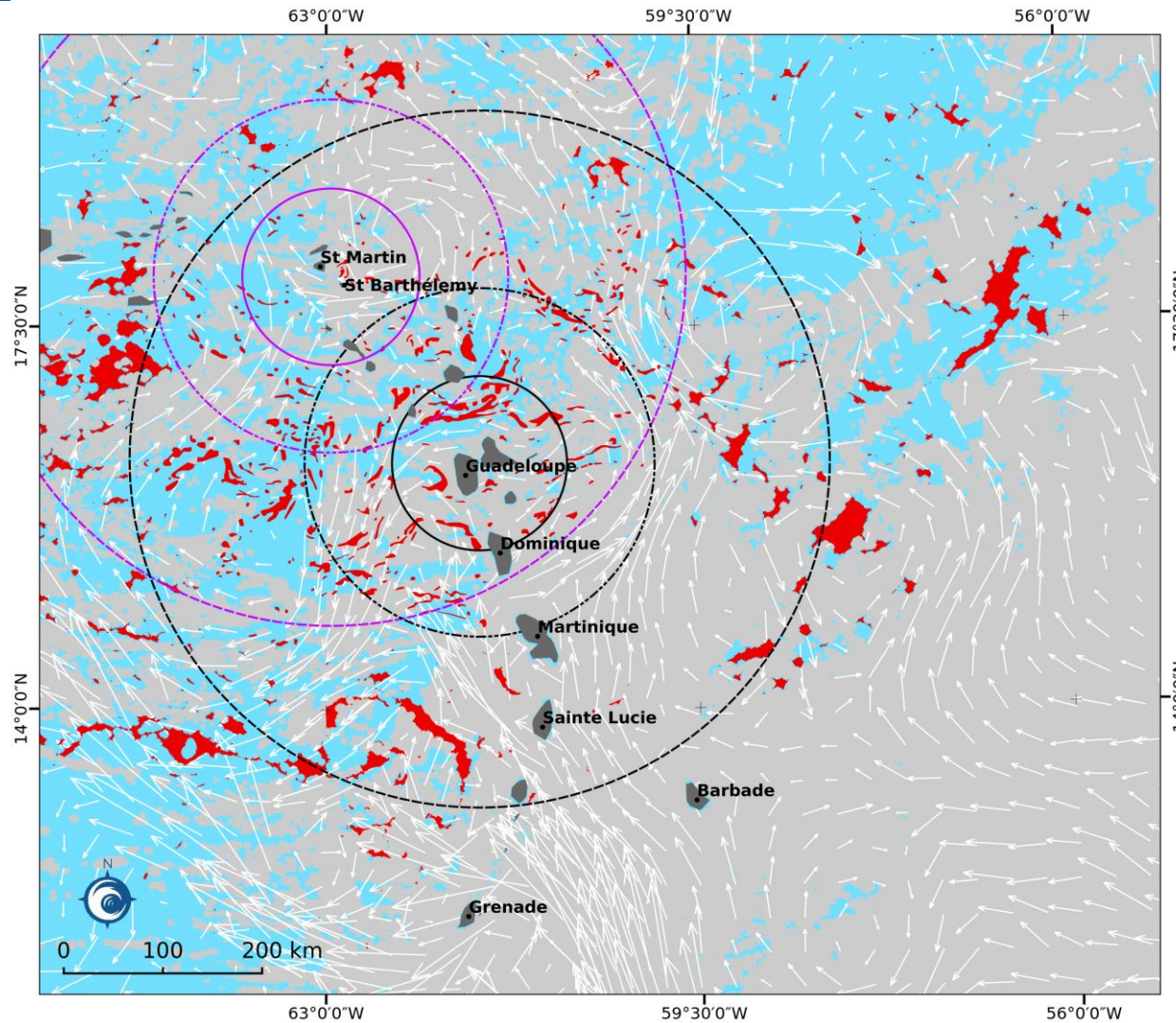


Sources :

Réalisation : i-Sea 2018
 Traitements issus des produits AFAI (University of South Florida) pour la journée du 31/05/2018
 Produits AFAI dérivés des images MODIS/VIIRS 1km © NASA

Système de coordonnées : UTM 20N

Dynamique des radeaux de sargasses – Jeu 31/05/2018



Superposition des radeaux de sargasses détectés à partir des images du 31/05/2018 aux courants de surface.

Les radeaux détectés à proximité immédiate à l'est de Basse-Terre se dirigent vers la côte.

Au sud de la Désirade, les radeaux visibles dérivent vers le sud-ouest.

Les radeaux détectés au large, à l'est de Marie Galante se dirigent vers le sud-ouest.

La situation telle qu'observée le 31/05/2018 présente un risque d'échouage en direction de la Guadeloupe.

Les très nombreux radeaux visibles au nord de Saint-Barthélemy dérivent vers le nord-nord-ouest et ne devraient pas impacter les îles du Nord.

Par contre, le radeau détecté à l'est de Saint-Barthélemy, à proximité immédiate de la côte, se dirige vers l'île.

La situation telle qu'observée le 31/05/2018 présente un risque d'échouage en direction de Saint-Barthélemy.

Radeaux de sargasses
31/05/2018

Courants de surface
10 cm/s
50 cm/s
nuages

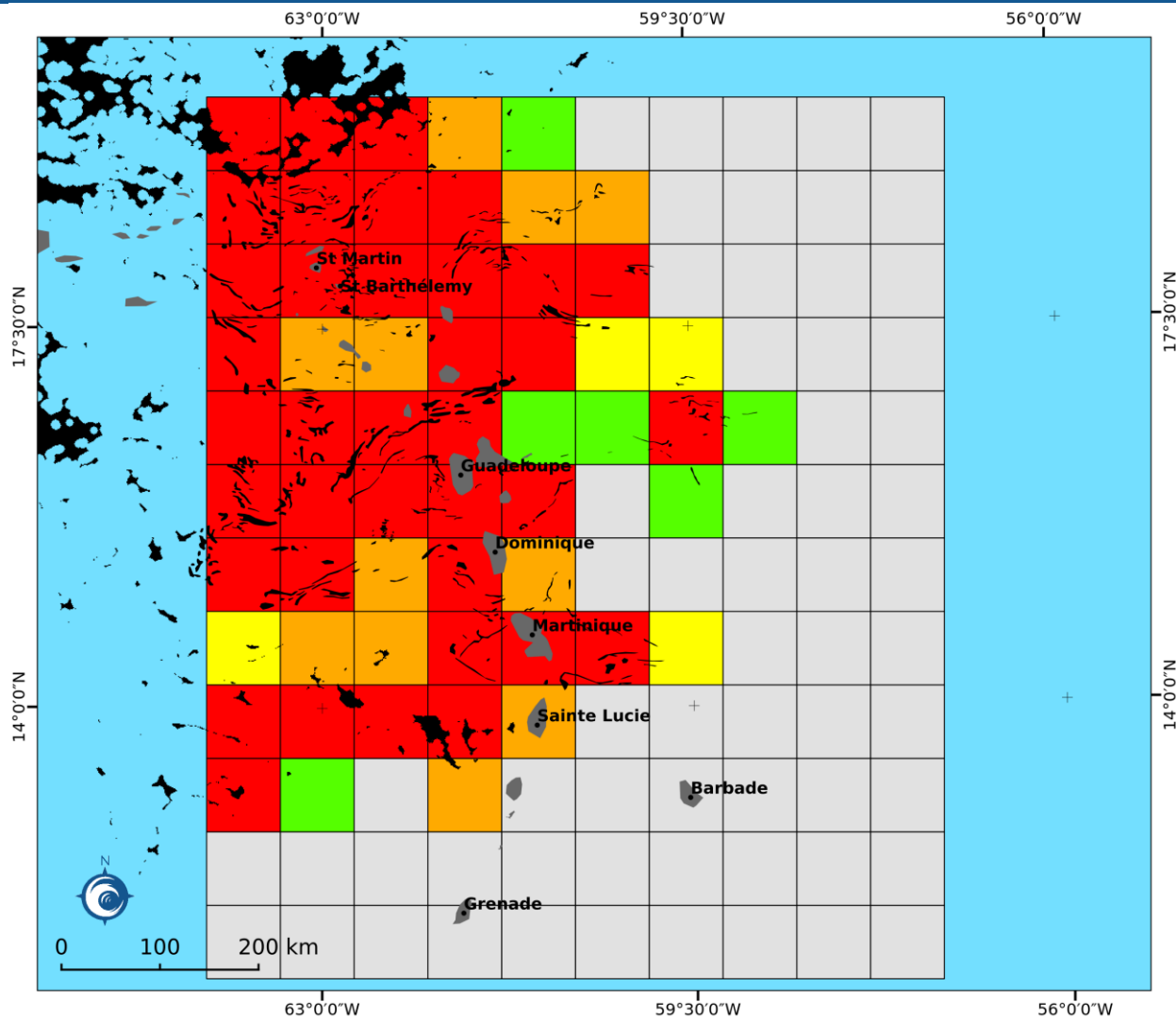
Distances (km)
100 200 400

Sources :

Réalisation : i-Sea 2018
Traitements issus des produits AFAI (University of South Florida) pour la journée du 31/05/2018
Produits AFAI dérivés des images MODIS/VIIRS 1km © NASA
Courant de surface HYCOM

Système de coordonnées : UTM 20N

Cartographie de densité des sargasses – Ven 01/06/2018



Cotation de la densité de sargasses pour la journée du 01/06/2018

Bonne visibilité sur les régions d'intérêt.

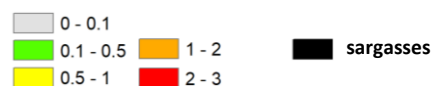
Un radeau est détecté dans le canal de Marie Galante, un second est visible au sud de la Désirade.

Plusieurs radeaux longilignes sont détectés au large, à l'est de Marie Galante.

Comme tout au long de la semaine, l'image du jour révèle la présence de nombreux radeaux à l'ouest de Basse-Terre.

Côté îles du Nord, Saint-Barthélemy est ceinturé par les algues, plusieurs radeaux sont également détectés au nord-est de Saint-Martin.

% de couverture

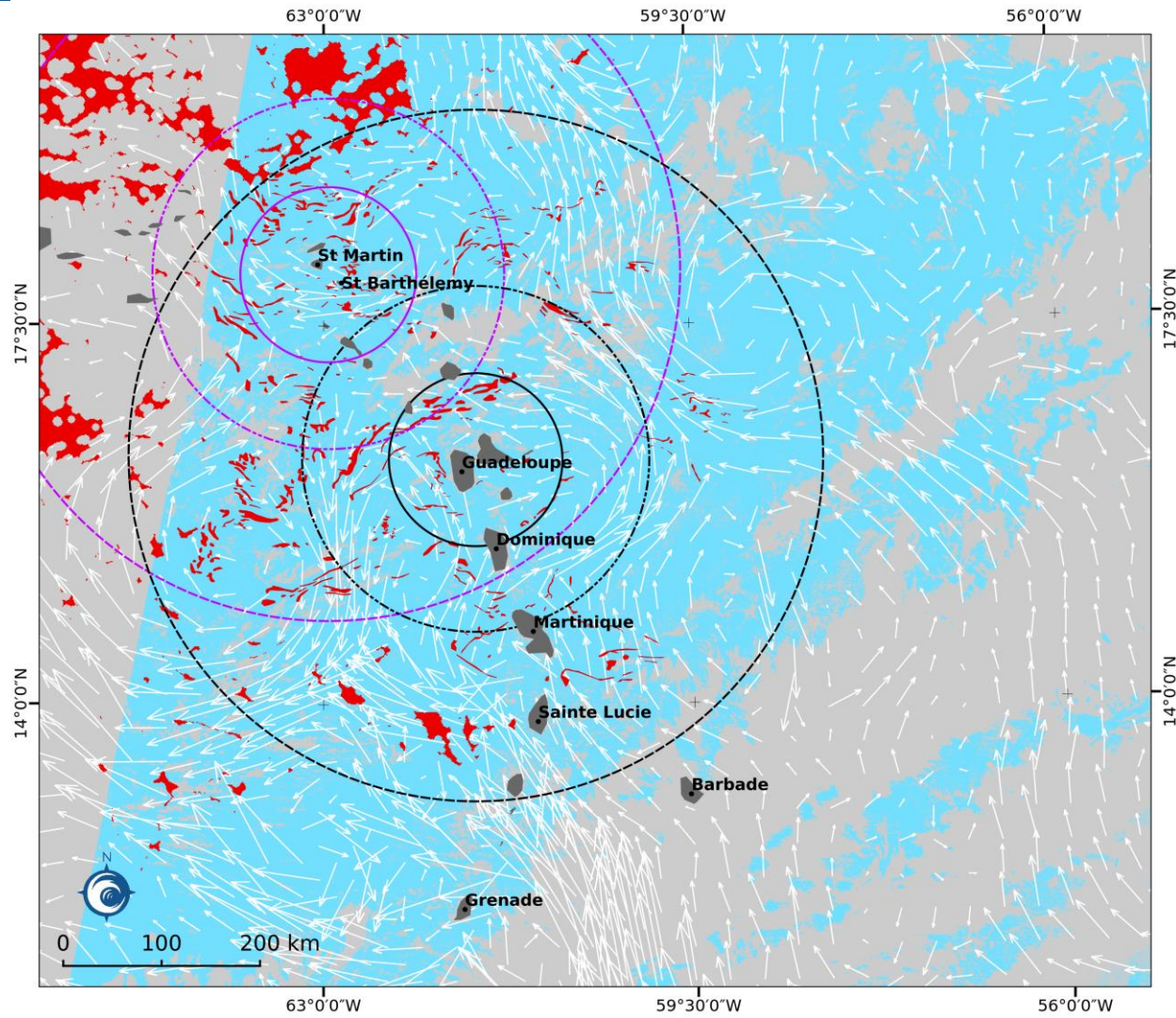


Sources :

Réalisation : i-Sea 2018
 Traitements issus des produits AFAl (University of South Florida) pour la journée du 01/06/2018
 Produits AFAl dérivés des images MODIS/VIIRS 1km © NASA
 Image Sentinel 3 – 300m – du 01/06/2018 © CNES

Système de coordonnées : UTM 20N

Dynamique des radeaux de sargasses – Ven 01/06/2018



Superposition des radeaux de sargasses détectés à partir des images du 01/06/2018 aux courants de surface.

Le radeau détecté dans le canal de Marie Galante se dirige vers Grande-Terre.

Un radeau est visible à proximité immédiate de la façade est de Basse-Terre.

La situation telle qu'observée le 01/06/2018 présente un risque d'échouage en direction de la Guadeloupe.

Les radeaux détectés à l'est de Saint-Barthélemy se dirige vers l'île sous l'effet de courants orientés vers l'ouest.

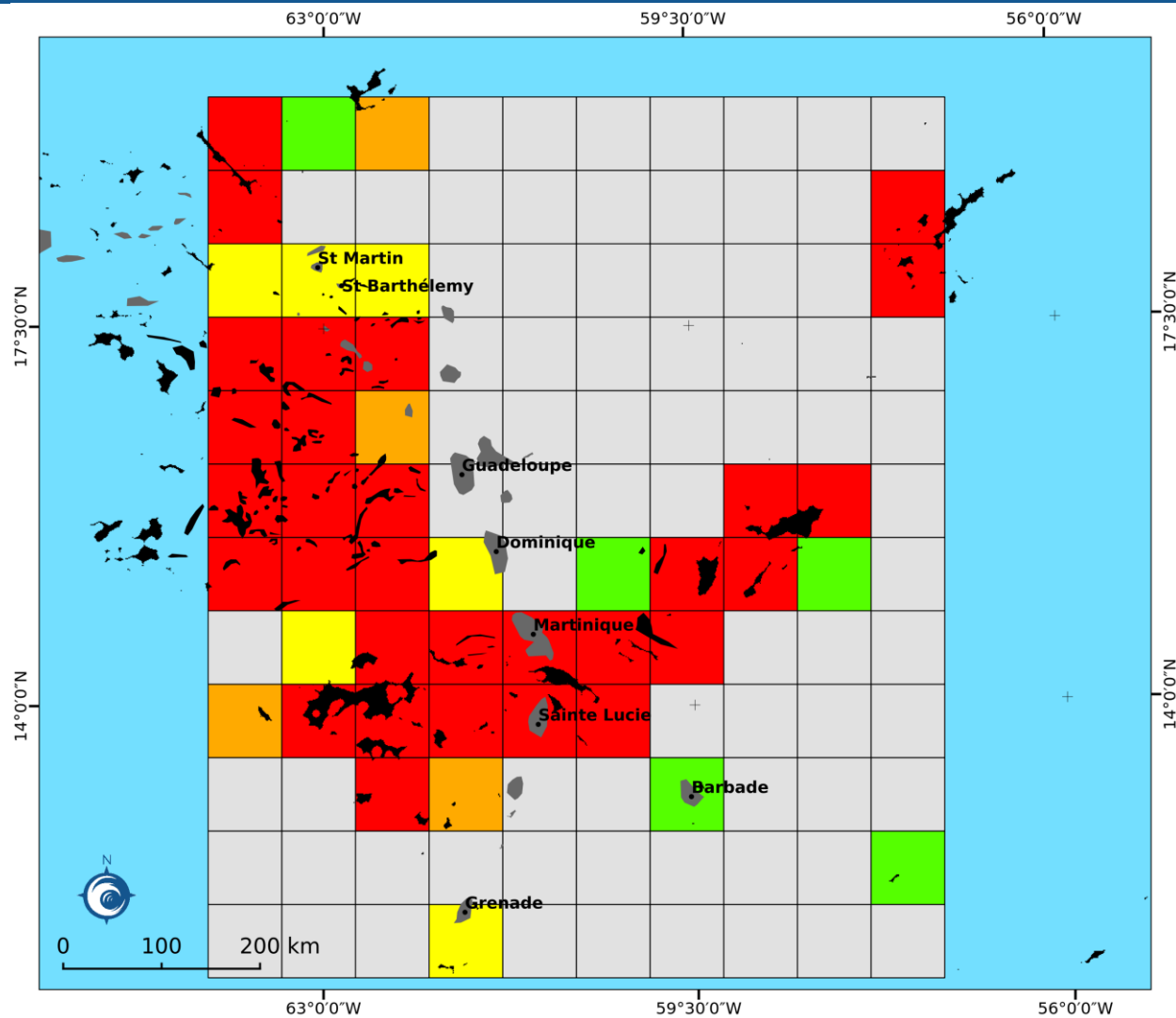
La situation telle qu'observée le 01/06/2018 présente un risque d'échouage en direction de Saint-Barthélemy.

Radeaux de sargasses 01/06/2018	Courants de surface
	 10 cm/s
Distances (km)	 50 cm/s
	 nuages

Sources : Réalisation : i-Sea 2018
Traitements issus des produits AFAI (University of South Florida) pour la journée du 01/06/2018
Produits AFAI dérivés des images MODIS/VIIRS 1km © NASA
Courant de surface HYCOM
Image Sentinel 3 – 300m – du 01/06/2018 © CNES

Système de coordonnées : UTM 20N

Cartographie de densité des sargasses – Sam 02/06/2018

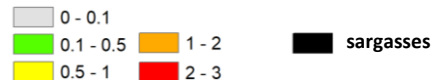


Cotation de la densité de sargasses pour la journée du 02/06/2018

Couverture nuageuse importante sur l'ensemble de la région d'intérêt. L'archipel guadeloupéen est sous les nuages, empêchant toute détection de radeau.

Deux radeaux sont visibles au nord ainsi qu'à l'est de Saint-Barthélemy. Plusieurs radeaux sont détectés au sud de l'île.

% de couverture

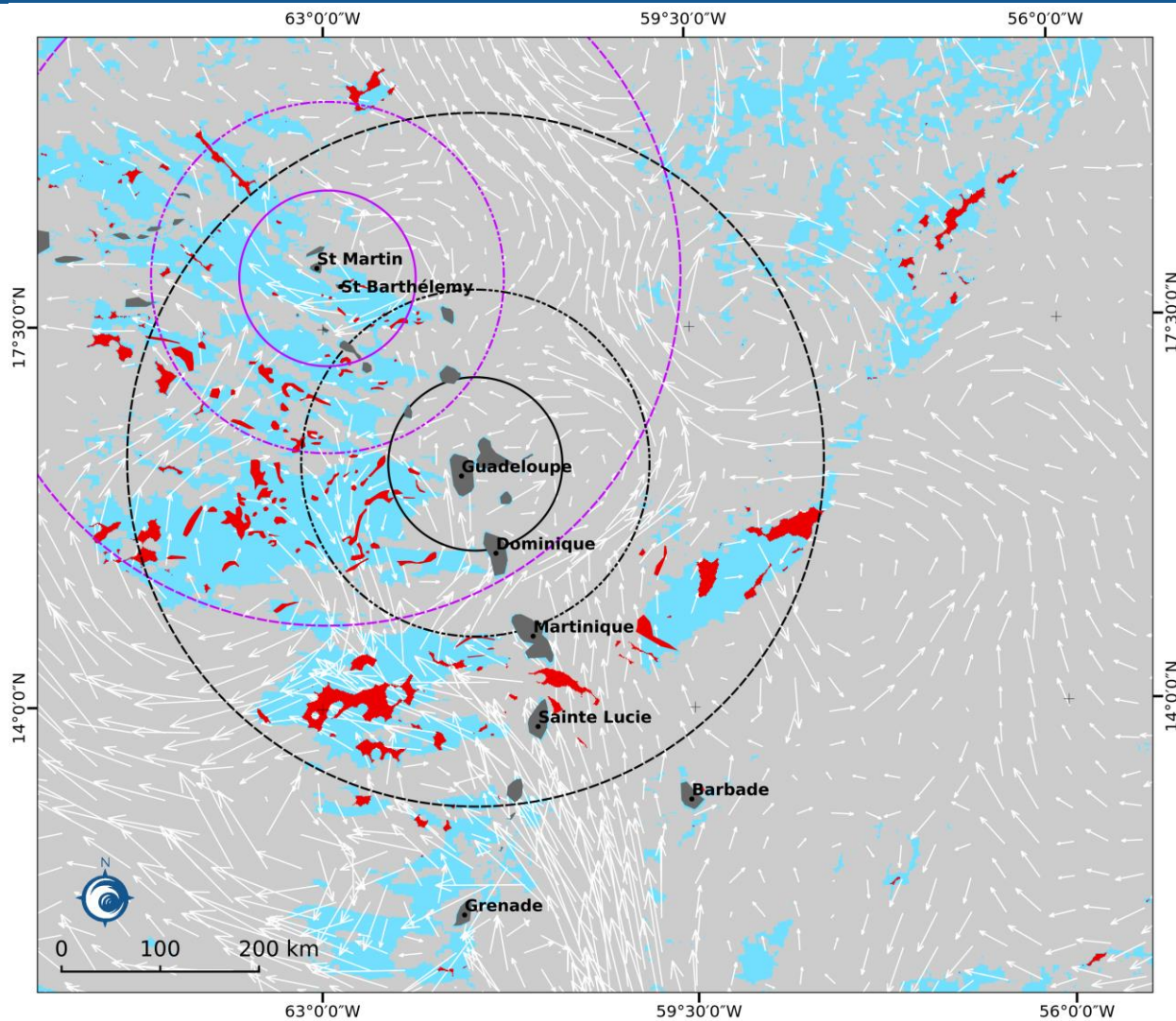


Sources :

Réalisation : i-Sea 2018
Traitements issus des produits AFAI (University of South Florida) pour la journée du 02/06/2018
Produits AFAI dérivés des images MODIS/VIIRS 1km © NASA

Système de coordonnées : UTM 20N

Dynamique des radeaux de sargasses – Sam 02/06/2018



Superposition des radeaux de sargasses détectés à partir des images du 02/06/2018 aux courants de surface.

Le radeau détecté à l'est de Saint-Barthélemy dérive vers l'ouest sous l'influence de courants d'est.

La situation telle qu'observée le 02/06/2018 présente un risque d'échouage en direction de Saint-Barthélemy.

Radeaux de sargasses
02/06/2018

Distances (km)

100 200 400

Courants de surface

10 cm/s

50 cm/s

nuages

Sources :

Réalisation : i-Sea 2018

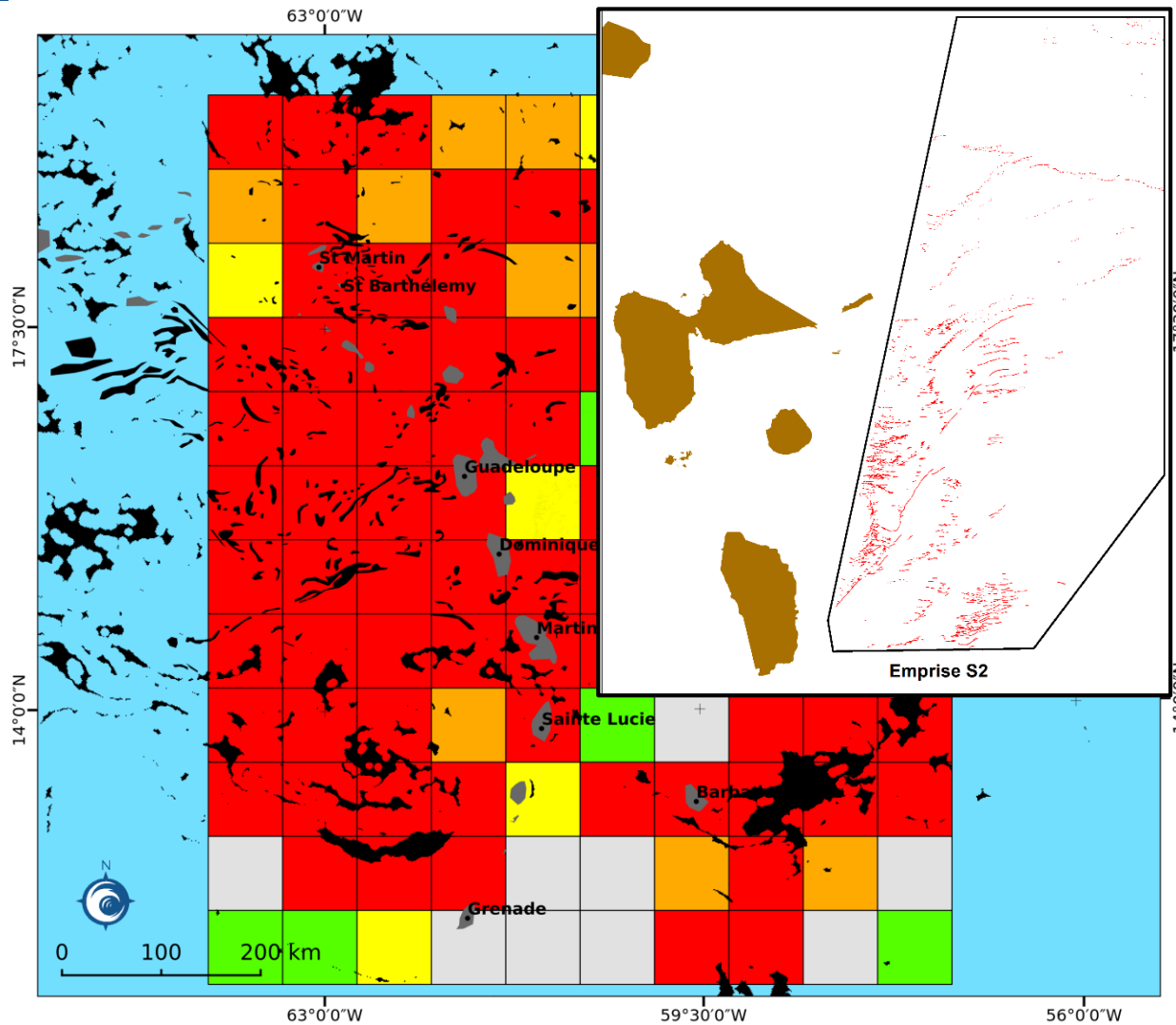
Traitements issus des produits AFAI (University of South Florida) pour la journée du 02/06/2018

Produits AFAI dérivés des images MODIS/VIIRS 1km © NASA

Courant de surface HYCOM

Système de coordonnées : UTM 20N

Cartographie de densité des sargasses – Dim 03/06/2018



Cotation de la densité de sargasses pour la journée du 03/06/2018

Couverture nuageuse partielle, plusieurs fenêtres d'observation sont présentes à proximité des zones d'intérêt.

L'image Sentinel 2 du jour (zoom) montre plus en détails la présence de sargasses en approche par l'est.

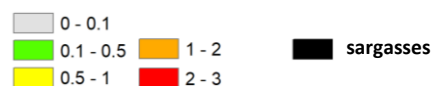
L'emprise de cette image est restreinte (périmètre noir) mais elle confirme l'omniprésence de sargasses à l'est de Marie Galante et de la Désirade.

Les détections réalisées sur les images VIIRS/MODIS du jour corroborent la présence de sargasses à l'ouest de Basse-Terre.

La couverture nuageuse dense ne nous permet pas de suivre les radeaux détectés la veille à proximité immédiate de l'archipel.

De nombreux radeaux sont détectés à proximité des îles du Nord. Plusieurs séries de radeaux sont détectées au nord-nord-est des deux îles. Au sud de Saint-Martin et Saint-Barthélemy, plusieurs radeaux sont également visibles.

% de couverture

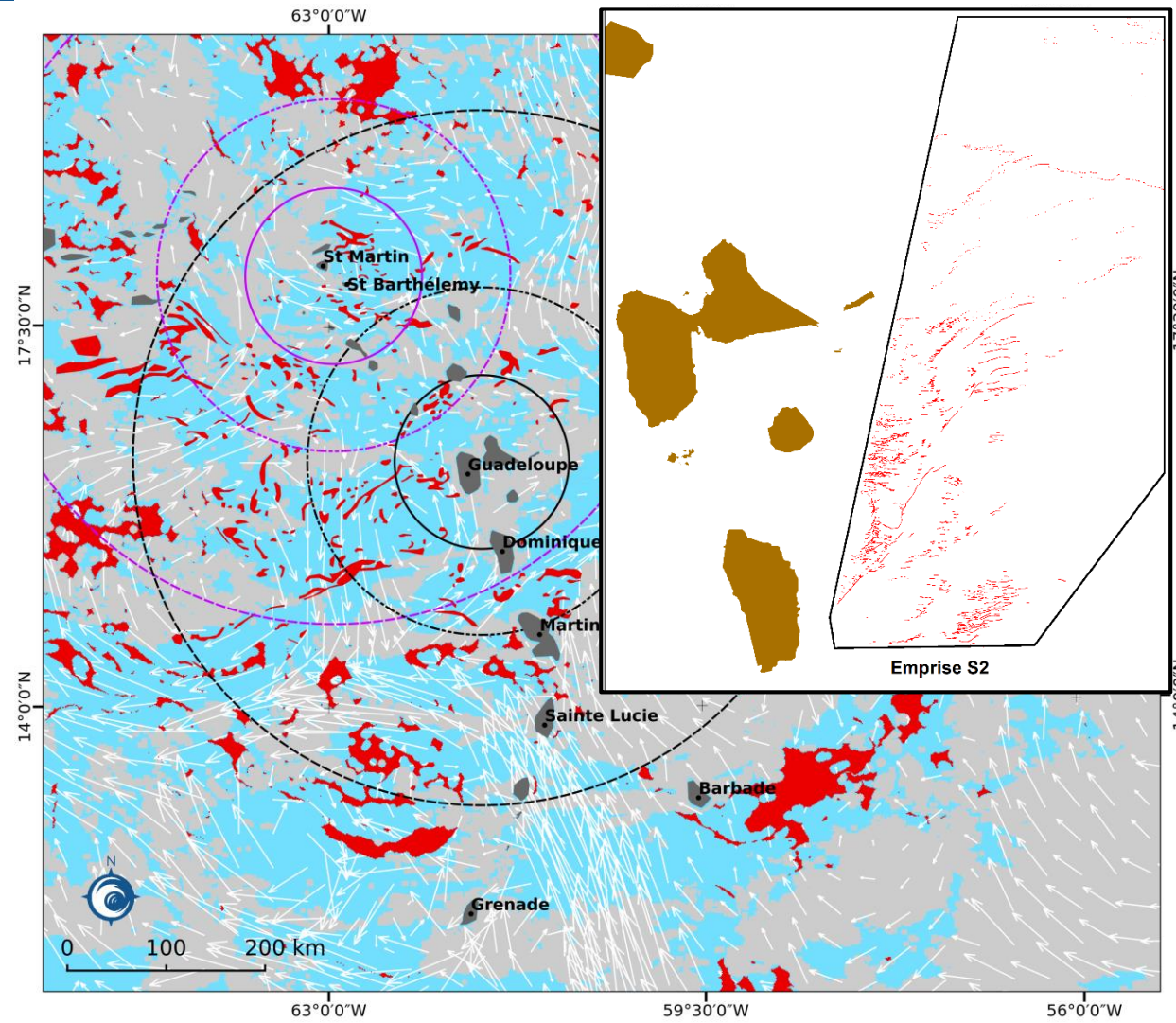


Sources :

Réalisation : i-Sea 2018
 Traitements issus des produits AFAl (University of South Florida) pour la journée du 03/06/2018
 Produits AFAl dérivés des images MODIS/VIIIRS 1km © NASA
 Image Sentinel 2 – 10m – du 03/06/2018 © ESA

Système de coordonnées : UTM 20N

Dynamique des radeaux de sargasses – Dim 03/06/2018



Superposition des radeaux de sargasses détectés à partir des images du 03/06/2018 aux courants de surface.

Les simulations HYCOM s'inversent ce weekend à proximité de Marie Galante, les radeaux s'écartent de l'archipel vers l'océan, mais la situation est à suivre dans les jours qui suivent.

À l'ouest de Basse-Terre, les radeaux visibles remontent vers le nord sous l'influence de courants orientés vers le nord-nord-ouest.

Côté îles du Nord, les nombreux radeaux détectés au nord des deux îles devraient poursuivre leur dérive vers le nord sans les impacter.

Les radeaux visibles à l'est de Saint-Barthélemy se dirigent vers la côte sous l'influence de courants orientés vers l'ouest.

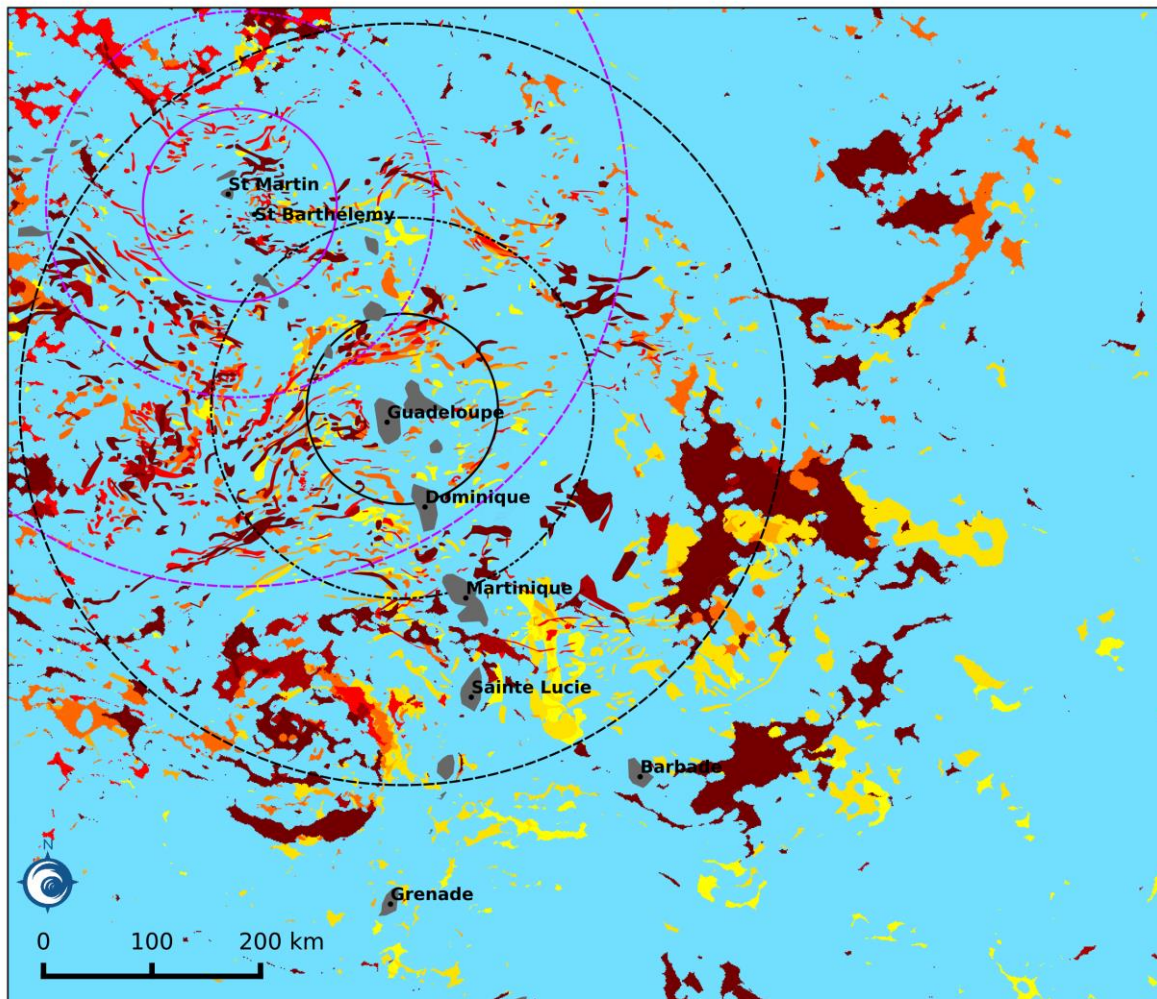
La situation telle qu'observée le 03/06/2018 présente un risque d'échouage en direction de Saint-Barthélemy.

Radeaux de sargasses 03/06/2018	Courants de surface
	 10 cm/s
Distances (km)	 50 cm/s
	 nuages

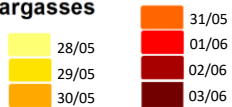
Sources :
Réalisation : i-Sea 2018
Traitements issus des produits AFAI (University of South Florida) pour la journée du 03/06/2018
Produits AFAI dérivés des images MODIS/VIIRS 1km © NASA
Courant de surface HYCOM
Image Sentinel 2 – 10m – du 03/06/2018 © ESA

Système de coordonnées : UTM 20N

Synthèse - période du 28/05/2018 au 03/06/2018



Radeaux de sargasses



Sources :

Réalisation : i-Sea 2018
 Traitements issus des produits AFAI (University of South Florida) pour la semaine du 28/05/2018 au 03/06/2018
 Produits AFAI dérivés des images MODIS/VIIIRS 1km © NASA
 Image Sentinel 3 – 300m – du 01/06/2018; © CNES
 Image Sentinel 2 – 10m – du 03/06/2018 © ESA

Système de coordonnées : UTM 20N